

СРАВНЕНИЕ АЛГОРИТМОВ ОПРЕДЕЛЕНИЯ ОРИЕНТАЦИИ КОСМИЧЕСКОГО АППАРАТА  
НА ОСНОВЕ ОДНОМОМЕНТНЫХ ИЗМЕРЕНИЙ

М. А. Пономарева\*, А. В. Крамлих

*Самарский национальный исследовательский университет имени академика С. П. Королева  
(Самарский университет), Самара, Россия*

\*ponomarevamariaan@gmail.com

**Аннотация.** Исследована задача определения ориентации космического аппарата по одномоментным измерениям. Представлен ряд алгоритмов определения ориентации космического аппарата по одномоментным измерениям различной физической природы: TRIAD, Optimized TRIAD, q-Method, QUEST, ESOQ, ESOQ2, SVD. Проанализированы следующие свойства алгоритмов, реализованных в математическом пакете MatLab: время работы, среднее значение и среднеквадратическое отклонение меры ошибки определения ориентации, количество операций с плавающей точкой.

**Ключевые слова:** космический аппарат, ориентация, алгоритм, одномоментные измерения, матрица поворота, кватернион, быстродействие, точность, вычисления с плавающей точкой

**Благодарности:** исследование выполнено за счет гранта Российского научного фонда № 23-67-10007, <https://rscf.ru/project/23-67-10007/>.

**Ссылка для цитирования:** Пономарева М. А., Крамлих А. В. Сравнение алгоритмов определения ориентации космического аппарата на основе одномоментных измерений // Изв. вузов. Приборостроение. 2025. Т. 68, № 1. С. 89–97. DOI: 10.17586/0021-3454-2025-68-1-89-97.

COMPARISON OF ALGORITHMS FOR DETERMINING A SPACE VEHICLE ORIENTATION BASED  
ON ONE-TIME MEASUREMENTS

M. A. Ponomareva\*, A. V. Kramlih

*Samara University, Samara, Russia*\* [ponomarevamariaan@gmail.com](mailto:ponomarevamariaan@gmail.com)

**Abstract.** The problem of determining the orientation of a spacecraft using instantaneous measurements is investigated. A number of algorithms for determining the spacecraft orientation using one-time measurements of various physical nature are presented: TRIAD, Optimized TRIAD, q-Method, QUEST, ESOQ, ESOQ2, SVD. The following properties of the algorithms implemented in the MatLab mathematical package are analyzed: running time, average value and standard deviation of the orientation determination error measure, and the number of floating-point operations.

**Keywords:** spacecraft, orientation, algorithm, one-time measurements, rotation matrix, quaternion, performance, accuracy, floating point calculations

**Acknowledgments:** The study was supported by the Russian Science Foundation grant No. 23-67-10007, <https://rscf.ru/project/23-67-10007/>.

**For citation:** Ponomareva M. A., Kramlih A. V. Comparison of algorithms for determining a space vehicle orientation based on one-time measurements. *Journal of Instrument Engineering*. 2025. Vol. 68, N 1. P. 89–97 (in Russian). DOI: 10.17586/0021-3454-2025-68-1-89-97.

**Введение.** Текущее положение космического аппарата (КА) вычисляется системой определения ориентации, включающей набор датчиков и комплекс алгоритмов. Информация об угловом положении КА используется для привязки измерений, выполняемых целевой аппаратурой, и для решения задачи управления угловым движением КА.

В настоящей статье рассматривается ряд основанных на работе с одномоментными измерениями алгоритмов определения ориентации. Одномоментные измерения векторов различной

физической природы выполняются одновременно или в достаточно близкие моменты времени, чтобы движением центра масс и угловым движением КА можно было пренебречь. В таком качестве могут выступать [1] измерения от звездного датчика, магнитометра, датчика Солнца, датчика горизонта и т.п., а в качестве моделей измерений используются соответственно модель звездного неба, магнитного поля Земли, направления на Солнце, надир и др. (наиболее точным считается звездный датчик, наименее — датчик горизонта). На малоразмерных КА преимущественно используются магнитометры и датчики направления на Солнце, поскольку они достаточно точные, надежные и недорогие.

Для определения ориентации КА по одномоментным измерениям используются два и более векторов и моделей этих измерений различной физической природы. В алгоритмах TRIAD и Optimized TRIAD используются только два вектора, в q-Method, QUEST, ESOQ, ESOQ2 и SVD можно использовать два вектора и более. Поскольку угол между двумя различными векторами может быть близок к нулю или к  $180^\circ$ , то векторы вырождаются друг в друга и ориентация КА в этом случае определяется с очень большой ошибкой. Во избежание этого используют несколько векторов, чтобы из них выбрать те, угол между которыми не будет равен нулю или  $180^\circ$ .

Целью настоящей работы является сравнение наиболее популярных алгоритмов определения ориентации КА по следующим критериям: скорость работы, точность, тип выходной информации и сложность реализации.

**Математическая постановка задачи.** В настоящей работе используются:

— абсолютная геоцентрическая система координат  $ox_ay_az_a$  (ACK): начало  $O$  в центре Земли, ось  $ox_a$  направлена в точку весеннего равноденствия, ось  $oz_a$  направлена по оси суточного вращения Земли (перпендикулярно плоскости экватора), ось  $oy_a$  лежит в плоскости экватора Земли и дополняет систему до правой (рис. 1;  $\Omega$  — долгота восходящего узла,  $i$  — наклонение орбиты,  $u$  — аргумент широты). Изначально модели измерений задаются в ACK с помощью математических моделей магнитного поля Земли, движения Солнца, звезд и т. д., а затем переводятся в орбитальную систему координат;

— орбитальная система координат  $OXYZ$  (OCK): начало  $O$  в центре масс КА, ось  $OZ$  направлена по радиусу-вектору КА, ось  $OY$  направлена перпендикулярно плоскости орбиты (по вектору кинетического момента орбитального движения), ось  $OX$  направлена по вектору скорости КА (рис. 1). ОСК является опорной, т. е. относительно нее определяется угловое положение КА;

— связанная система координат  $Oxyz$  (ССК): начало в центре масс КА, оси сонаправлены с главными центральными осями инерции КА. В ССК векторы определяются с помощью датчиков, находящихся на борту КА;

Задача определения ориентации КА заключается в нахождении углового положения связанной с КА системы координат относительно некоторой опорной системы координат, например орбитальной, по имеющимся измерениям в ССК и моделям этих измерений в ОСК. На рис. 2 проиллюстрирован переход от ОСК к ССК ( $\psi$  — угол прецессии,  $a_n$  — пространственный угол атаки,  $\phi$  — угол собственного вращения).

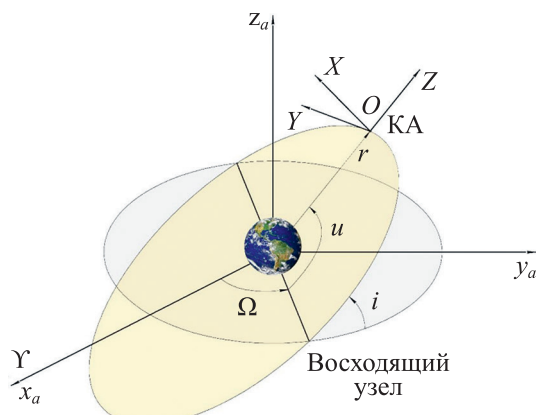


Рис. 1

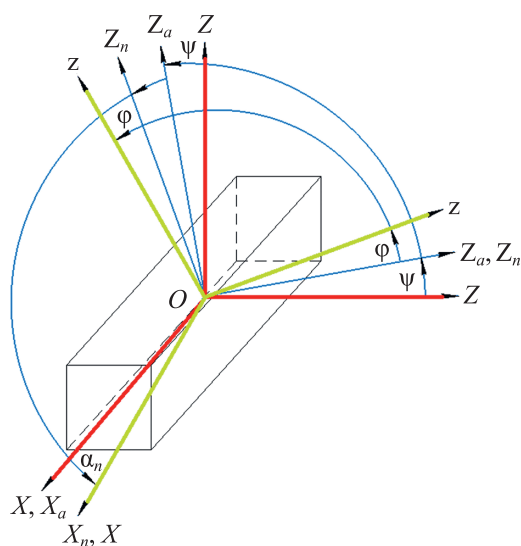


Рис. 2

Переход от ОСК к ССК осуществляется тремя последовательными поворотами вокруг осей  $x - y - x$  на углы  $\psi$ ,  $\alpha_n$ ,  $\varphi$  соответственно. Эти углы называются углами Эйлера [2] и задаются следующим образом: угол прецессии  $\psi \in [-\pi, \pi]$ ; пространственный угол атаки  $\alpha_n \in [0, \pi]$  и угол собственного вращения  $\varphi \in [-\pi, \pi]$ .

Угловое положение ССК относительно ОСК описывается матрицей поворота  $\mathbf{M}$ , параметризованной через углы Эйлера [2]:

$$\mathbf{M}(\alpha_n, \varphi, \psi) = \begin{bmatrix} \mathbf{c}\alpha_n & s\alpha_n s\psi & -s\alpha_n c\psi \\ s\varphi_n s\alpha_n & c\varphi c\psi - c\varphi s\alpha_n s\psi & c\varphi s\psi + s\varphi c\alpha_n c\psi \\ c\varphi_n s\alpha_n & -s\varphi c\psi - c\varphi s\alpha_n s\psi & -s\varphi s\psi + c\varphi c\alpha_n c\psi \end{bmatrix} \quad (1)$$

или кватернион [3]

$$\mathbf{M}(\mathbf{Q}) = \begin{bmatrix} q_4^2 + q_1^2 - q_2^2 - q_3^2 & 2(q_1 q_2 + q_4 q_3) & 2(q_1 q_3 - q_4 q_2) \\ 2(q_1 q_2 - q_4 q_3) & q_4^2 + q_2^2 - q_1^2 - q_3^2 & 2(q_2 q_3 + q_4 q_1) \\ 2(q_1 q_3 + q_4 q_2) & 2(q_2 q_3 - q_4 q_1) & q_4^2 + q_3^2 - q_1^2 - q_2^2 \end{bmatrix}, \quad (2)$$

где  $c = \cos$ ,  $s = \sin$ ;  $\mathbf{Q} = (q_1, q_2, q_3, q_4)$  — кватернион;  $q_4$  — компоненты векторной части кватерниона,  $q_1, q_2, q_3$  — скалярная часть кватерниона.

Связь измерений и моделей этих измерений описывается формулой:

$$\mathbf{b}_i = \mathbf{M}\mathbf{r}_i,$$

где  $\mathbf{b}_i$  — вектор измерений ( $i = \overline{1, N}$ ,  $N$  — число единичных векторов измерений в ССК);  $\mathbf{r}_i$  — вектор моделей измерений в ОСК; определитель  $\mathbf{M}$  должен быть равен единице — условие ортогональности матрицы.

Решение задачи определения ориентации КА сводится к нахождению матрицы поворота  $\mathbf{M}$ .

TRIAD — первый алгоритм, созданный для определения матрицы поворота [4–6]. Этот алгоритм работает только с двумя измеренными векторами: 1 — получен с помощью датчиков освещенности, 2 — вектор магнитной индукции;  $\mathbf{r}_1, \mathbf{r}_2$  — проекции векторов в ССК,  $\mathbf{b}_1, \mathbf{b}_2$  — проекции векторов в ОСК, которые удовлетворяют выражению

$$\mathbf{b}_1 = \mathbf{M}\mathbf{r}_1, \mathbf{b}_2 = \mathbf{M}\mathbf{r}_2.$$

В алгоритме учитывается только направление вектора, а не его длина, поэтому все векторы нормируются.

TRIAD основан на следующей идее: создается правая тройка векторов  $\{\mathbf{R}_1, \mathbf{R}_2, \mathbf{R}_3\}$  в ОСК и правая тройка векторов  $\{\mathbf{W}_1, \mathbf{W}_2, \mathbf{W}_3\}$  в ССК с помощью полученных ранее векторов по следующим формулам:

$$\mathbf{R}_1 = \frac{\mathbf{r}_1}{|\mathbf{r}_1|}, \mathbf{R}_2 = \frac{\mathbf{R}_1 \mathbf{r}_2}{|\mathbf{R}_1 \mathbf{r}_2|}, \mathbf{R}_3 = \mathbf{R}_1 \mathbf{R}_2, \quad (3)$$

$$\mathbf{R}_1 = \frac{\mathbf{b}_1}{|\mathbf{b}_1|}, \mathbf{R}_2 = \frac{\mathbf{W}_1 \mathbf{b}_2}{|\mathbf{W}_1 \mathbf{b}_2|}, \mathbf{R}_3 = \mathbf{R}_1 \mathbf{R}_2. \quad (4)$$

Тогда матрицу поворота можно найти по формуле

$$\mathbf{M} = \mathbf{R}_1 \mathbf{W}_1^T + \mathbf{R}_2 \mathbf{W}_2^T + \mathbf{R}_3 \mathbf{W}_3^T. \quad (5)$$

В алгоритме TRIAD вычисления опираются на один из векторов (вектор 1 используется чаще), для повышения точности алгоритма необходимо использовать наиболее точно найденный вектор. При разработке КА решается, какой из используемых датчиков считать более точным,

в зависимости от принципа их работы (например, магнитометры и датчики Солнца бывают различной сложности и точности) и полноты математических моделей.

*Optimized TRIAD* [7], в нем учитываются не только ошибки определения вектора 2, но и ошибки определения вектора 1.

Для вычисления матрицы поворота по Optimized TRIAD необходимо найти матрицу  $\mathbf{M}_1$  согласно формуле (5), считая вектор 1 более точным; затем — по (5) найти матрицу  $\mathbf{M}_1$ , считая более точным вектор 2. Также нужно получить значения стандартных отклонений:  $\sigma_1$  — среднеквадратическое отклонение (СКО) измерений вектора 1, а  $\sigma_2$  — СКО вектора 2. Тогда по формуле несмешенной оценки с минимальной дисперсией можно найти [7]:

$$\hat{\mathbf{M}} = \frac{\sigma_2^2}{\sigma_1^2 + \sigma_2^2} \mathbf{M}_1 + \frac{\sigma_1^2}{\sigma_1^2 + \sigma_2^2} \mathbf{M}_2. \quad (6)$$

Для выполнения условия ортогональности матрицы  $\mathbf{M}$  необходимо преобразовать выражение (6) следующим образом:

$$\mathbf{M} = 0,5 [\hat{\mathbf{M}} + (\hat{\mathbf{M}}^{-1})^T].$$

*Задача Вахбы.* Поиск матрицы поворота между двумя системами координат может сводиться к так называемой задаче Вахбы [8]: найти ортогональную матрицу  $\mathbf{M}$ , доставляющую минимум функции потерь, представляющую собой разность между измеренными векторами и их моделями

$$L(\mathbf{M}) = \sum_{i=1}^N a_i \|\mathbf{b}_i - \mathbf{M}\mathbf{r}_i\|^2 \rightarrow \min,$$

где  $\{\mathbf{b}_i\}$  — совокупность единичных векторов измерений в ССК,  $\{\mathbf{r}_i\}$  — совокупность единичных векторов моделей измерений в ОСК,  $a_i$  — весовой коэффициент соответствующих измерений.

Функцию потерь можно свести к выражению [8]:

$$L_1 = \text{tr}(\mathbf{MB}^T) \rightarrow \max, \quad (7)$$

где  $\mathbf{B} = \sum_{i=1}^N a_i \mathbf{b}_i \mathbf{r}_i^T$ ,  $\text{tr}()$  — след матрицы.

В дальнейшем вместо функции потерь  $L$  будем работать с функцией  $L_1$ .

Рассматриваемые далее алгоритмы предназначены для решения задачи Вахбы.

*q-Method* — один из первых, созданных для решения задачи Вахбы [6, 9–11]: вводится матрица поворота, параметризованная через кватернион

$$\mathbf{M} = (q_4^2 - \mathbf{q}^T \mathbf{q}) \mathbf{I} + 2\mathbf{q}\mathbf{q}^T - 2q_4[\mathbf{q}^\times], \quad (8)$$

где  $\mathbf{Q} = [\mathbf{q} \ q_4]^T$  — кватернион,  $[\mathbf{q}^\times] = \begin{bmatrix} 0 & -q_3 & q_2 \\ q_3 & 0 & -q_1 \\ -q_2 & q_1 & 0 \end{bmatrix}$ ,  $\mathbf{I}$  — единичная матрица.

Подставив (8) в уравнение (7) и преобразовав его, получим

$$L_1 = \text{tr}(\mathbf{MB}^T) = \mathbf{Q}^T \mathbf{K} \mathbf{Q} \rightarrow \max, \quad (9)$$

где  $\mathbf{K} = \begin{bmatrix} \mathbf{S} - \mathbf{I} \text{tr}(\mathbf{B}) & \mathbf{z} \\ \mathbf{z}^T - \mathbf{B}_{13} & \text{tr}(\mathbf{B}) \end{bmatrix}$ ,  $\mathbf{S} = \mathbf{B} + \mathbf{B}^T$ ,  $\mathbf{z} = \begin{bmatrix} \mathbf{B}_{23} - \mathbf{B}_{32} \\ \mathbf{B}_{31} - \mathbf{B}_{13} \\ \mathbf{B}_{12} - \mathbf{B}_{21} \end{bmatrix}$ .

Рассмотрев правую часть уравнения (9), можно заметить, что матрица постоянна. Тогда для того, чтобы значение функции (9) было максимальным, необходимо, чтобы значение  $\mathbf{Q}$  было

максимальным. Можно также доказать [10], что  $\mathbf{Q}$  является собственным вектором матрицы  $\mathbf{K}$ . Таким образом, задача сводится к нахождению максимального значения вектора  $\mathbf{Q}$ , который также называют оптимальным кватернионом, или к решению следующего уравнения:

$$\mathbf{KQ}_{\text{opt}} = \lambda_{\max} \mathbf{Q}_{\text{opt}}, \quad (10)$$

где  $\lambda_{\max}$  — максимальное собственное число матрицы  $\mathbf{K}$ .

q-Method не предлагает конкретного способа отыскания максимального собственного вектора матрицы  $\mathbf{K}$ , являющегося оптимальным кватернионом  $\mathbf{Q}_{\text{opt}}$ . Алгоритмы QUEST [5, 6, 10–12], ESOQ [6, 10, 13] и ESOQ2 [6, 10, 14] предлагают различные способы нахождения этого собственного вектора. Рассмотрим эти алгоритмы подробнее.

*QUEST.* Уравнение (10) можно переписать как

$$(\lambda_{\max} \mathbf{I} - \mathbf{K}) \mathbf{Q}_{\text{opt}} = 0, \quad (11)$$

$\lambda_{\max}$  в случае использования двух векторов измерений можно найти по формуле

$$\lambda_{\max} = \sqrt{a_1^2 + 2a_1a_2c + a_2^2},$$

$$c = (\mathbf{b}_1 \mathbf{b}_2) (\mathbf{r}_1 \mathbf{r}_2) + \|\mathbf{b}_1 \mathbf{b}_2\| \|\mathbf{r}_1 \mathbf{r}_2\|,$$

где  $\|\cdot\|$  — вторая норма.

Тогда из уравнения (10) можно найти оптимальный кватернион по формуле

$$\mathbf{Q}_{\text{opt}} = \frac{1}{\sqrt{\gamma^2 + |\mathbf{x}|^2}} \begin{bmatrix} \mathbf{x} \\ \gamma \end{bmatrix},$$

где  $\mathbf{x} = (\alpha \mathbf{I} + \beta \mathbf{S} + \mathbf{S}^2) \mathbf{z}$ ,  $\gamma = \alpha(\lambda_{\max} + \text{tr}(\mathbf{B})) - \det(\mathbf{S}^2)$ ,  $\det()$  — определитель матрицы,  $\alpha = \lambda_{\max}^2 - (\text{tr}(\mathbf{B}))^2 + \text{tr}(\text{adj}(\mathbf{S}))$ ,  $\text{adj}()$  — присоединенная матрица,  $\beta = \lambda_{\max} - \text{tr}(\mathbf{B})$ .

В алгоритме ESOQ вводится вспомогательная матрица

$$\mathbf{H} = \lambda_{\max} \mathbf{I} - \mathbf{K}.$$

Необходимо найти присоединенную матрицу  $\text{adj}(\mathbf{H})$  и  $k$  — номер столбца с максимальным диагональным элементом матрицы  $\text{adj}(\mathbf{H})$ .

Далее находятся ненормированные элементы оптимального кватерниона

$$q_i = (-1)^{k+1} \det(\mathbf{H}_{ki}),$$

где  $i = 1, \dots, 4$ , а  $\mathbf{H}_{ki}$  получена из матрицы  $\mathbf{H}$  путем вычеркивания  $k$ -й строчки и  $i$ -го столбца.

Оптимальный кватернион нормируется по формуле

$$\mathbf{Q}_{\text{opt}} = \frac{1}{\sqrt{q_1^2 + q_2^2 + q_3^2 + q_4^2}} \begin{bmatrix} q_1 \\ q_2 \\ q_3 \\ q_4 \end{bmatrix}.$$

*ESOQ2.* В уравнение (10) подставляется кватернион вида  $\mathbf{Q} = \begin{bmatrix} \mathbf{e} \sin\left(\frac{\theta}{2}\right) \\ \mathbf{e} \cos\left(\frac{\theta}{2}\right) \end{bmatrix}$ , где  $\mathbf{e}$  — ось

$$\begin{bmatrix} \mathbf{e} \sin\left(\frac{\theta}{2}\right) \\ \mathbf{e} \cos\left(\frac{\theta}{2}\right) \end{bmatrix}$$

Затем с помощью математических преобразований можно получить

$$\mathbf{P} = (\lambda_{\max} - \text{tr}(\mathbf{B}))((\lambda_{\max} + \text{tr}(\mathbf{B}))\mathbf{I} - \mathbf{S}) - \mathbf{z}\mathbf{z}^T = [\mathbf{p}_1:\mathbf{p}_2:\mathbf{p}_3],$$

далее

$$\mathbf{P}_1 = [\mathbf{p}_2\mathbf{p}_3:\mathbf{p}_3\mathbf{p}_1:\mathbf{p}_1\mathbf{p}_2]$$

и вектор  $\mathbf{y}$  — столбец  $\mathbf{P}_1$  с максимальной второй нормой.

Оптимальный кватернион находится по формуле

$$\mathbf{Q}_{\text{opt}} = \frac{1}{\sqrt{|\lambda_{\max} - \text{tr}(\mathbf{B})\mathbf{y}|^2 + |\mathbf{z}\mathbf{y}|^2}} \begin{bmatrix} (\lambda_{\max} + \text{tr}(\mathbf{B}))\mathbf{y} \\ \mathbf{z}\mathbf{y} \end{bmatrix}.$$

*SVD*. Также задачу Вахбы можно решить с помощью сингулярного разложения, используя алгоритм SVD [6, 10, 11, 15].

Матрица  $\mathbf{B} = \sum_{i=1}^N a_i \mathbf{b}_i \mathbf{r}_i^T$  имеет сингулярное разложение

$$\mathbf{B} = \mathbf{U}\Sigma\mathbf{V}^T = \mathbf{U} \begin{bmatrix} \Sigma_{11} & 0 & 0 \\ 0 & \Sigma_{22} & 0 \\ 0 & 0 & \Sigma_{33} \end{bmatrix} \mathbf{V}^T,$$

где  $\mathbf{U}$  и  $\mathbf{V}$  — ортогональные матрицы, состоящие из левых и правых сингулярных векторов соответственно, а собственные сингулярные числа  $\Sigma$  подчиняются неравенствам  $\Sigma_{11} \geq \Sigma_{22} \geq \Sigma_{33} \geq 0$ . Матрица  $\mathbf{U}$  состоит из собственных векторов матрицы  $\mathbf{B}\mathbf{B}^T$ , матрица  $\mathbf{V}$  состоит из собственных векторов матрицы  $\mathbf{B}^T\mathbf{B}$ .

Матрица поворота находится по формуле

$$\mathbf{M} = \mathbf{U} \begin{bmatrix} 1 & 0 & 0 \\ 0 & 1 & 0 \\ 0 & 0 & \det(\mathbf{U})\det(\mathbf{V}) \end{bmatrix} \mathbf{V}^T.$$

**Моделирование.** Для сравнения алгоритмов было проведено математическое моделирование в MatLab при следующих условиях. Углы ориентации выбирались из диапазона  $a_n \in [0; 180^\circ]$ ,  $\phi \in [-180^\circ; 180^\circ]$ ,  $\psi \in [-180^\circ; 180^\circ]$  и вычислялась истинная матрица поворота  $\mathbf{M}$ , которую можно найти по формуле (1).

Во всех рассмотренных алгоритмах определения ориентации КА используются нормированные векторы. Моделирование векторов  $\mathbf{r}_1\mathbf{r}_2$  проводилось следующим образом: компоненты  $r_{x_i}, r_{y_i}, r_{z_i}$  ( $i = 1, 2$ ) векторов  $\mathbf{r}_i = (r_{x_i}, r_{y_i}, r_{z_i})^T$  генерировались по равновероятному закону в диапазоне  $[-1000; 1000]$ .

Векторы  $\mathbf{b}_1, \mathbf{b}_2$  (измерения в ССК) получены по формуле

$$\mathbf{b}_i = \mathbf{M}\mathbf{r}_i + \mathbf{w},$$

где  $\mathbf{w} = (w_x, w_y, w_z)^T$ ,  $w_x, w_y, w_z \sim N(0, \sigma^2)$ ,  $\sigma = 0,01|\mathbf{r}|$  или  $\sigma = 0,1|\mathbf{r}|$ ,  $i = 1, 2$  (т. е. величина СКО принималась равной 1 или 10 % модуля вектора).

Мера ошибки определения ориентации КА находится по формуле

$$F = \arccos\left(\frac{1}{2}(\text{tr}(\mathbf{B} - 1))\right), \quad (12)$$

где  $\tilde{\mathbf{B}} = \hat{\mathbf{M}}\hat{\mathbf{M}}^T$ ,  $\mathbf{M}$  — истинная матрица,  $\hat{\mathbf{M}}$  — найденная матрица.

Для каждого алгоритма подсчитаны: мера ошибки определения ориентации, скорость работы для выборки размером 10 000, при этом число операций с плавающей точкой определялось для одной реализации алгоритма.

Результаты исследования приведены в табл. 1, 2 и на рис. 3.

В табл. 1 представлены результаты вычисления времени работы и числа операций с плавающей точкой. Самыми быстрыми алгоритмами являются TRIAD и SVD, самые медленные — ESOQ и QUEST. Алгоритм с наименьшим числом операций с плавающей точкой — TRIAD, с наибольшим числом — QUEST.

Таблица 1

Алгоритм	Время работы*, с	Число операций с плавающей точкой**	Тип выходной информации
TRIAD	0,04	11	Матрица поворота
Optimized TRIAD	0,14	42	Матрица поворота
q-method	0,20	59	Кватернион
QUEST	0,29	227	Кватернион
ESOQ	0,54	125	Кватернион
ESOQ2	0,14	79	Кватернион
SVD	0,13	53	Матрица поворота

\* Указано время работы алгоритмов при обработке выборки размером 10 000 реализаций.

\*\* Для вычислений операций с плавающей точкой использовалась функция, реализованная в MatLab [16].

В табл. 2 представлены результаты вычисления среднего значения и СКО для меры ошибки определения ориентации КА (см. формулу (12)). Можно увидеть, что наименее точным является TRIAD, остальные алгоритмы работают примерно с одинаковой точностью. Также можно увидеть, что при увеличении ошибки измерения вектора в десять раз погрешность определения ориентации тоже увеличивается примерно в десять раз.

Таблица 2

Алгоритм	Среднее значение ошибки, ...°		СКО, ...°	
	$\sigma = 0,1 \mathbf{r} $	$\sigma = 0,01 \mathbf{r} $	$\sigma = 0,1 \mathbf{r} $	$\sigma = 0,01 \mathbf{r} $
TRIAD	8,58	0,86	5,78	0,57
Optimized TRIAD	7,84	0,79	5,35	0,53
q-method	7,84	0,79	5,35	0,53
QUEST	7,84	0,79	5,35	0,53
ESOQ	7,84	0,79	5,35	0,53
ESOQ2	7,84	0,79	5,35	0,53
SVD	7,84	0,79	5,35	0,53

На рис. 3 представлены результаты моделирования алгоритмов при ошибке в 1 % от модуля вектора ( $\sigma = 0,01|\mathbf{r}|$ ). Можно увидеть, что алгоритм TRIAD — наименее точный, а графики остальных алгоритмов сливаются. На границах графика можно увидеть значительное увеличение погрешности при приближении к особым точкам. Это происходит, потому что при углах между векторами  $\delta = 0$  или  $180^\circ$  векторы вырождаются друг в друга.

**Заключение.** Моделирование показало, что наименее точным алгоритмом является TRIAD, остальные работают примерно с одинаковой точностью. Самыми быстрыми являются TRIAD и SVD, самые медленные — ESOQ и QUEST. Алгоритм с наименьшим числом операций с плавающей точкой — TRIAD, с наибольшим — QUEST.

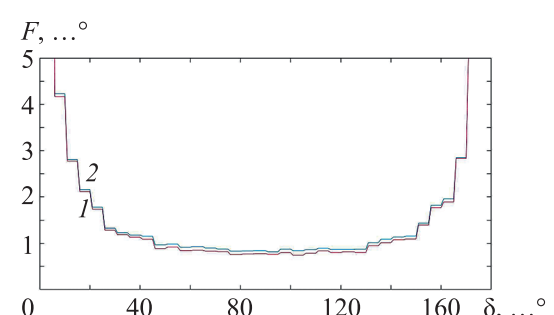


Рис. 3

## СПИСОК ЛИТЕРАТУРЫ

1. Mohd Zamri H., Amran A., Abu Hassan A. et al. Review on attitude estimation algorithm of attitude determination system // ARPN Journal of Engineering and Applied Sciences. 2016. Vol. 11, N 7. P.4455–4460.
2. Белоконов И. В., Тимбай И. А. Движение наноспутника относительно центра масс на околоземных орбитах: учеб. пос. Самара: Изд-во Самарского университета, 2020. 128 с.
3. Бранец В. Н., Шмыглевский И. П. Применение кватернионов в задачах ориентации твердого тела. М.: Наука, 1973. 320 с.
4. Black H. D. A Passive System for Determining the Attitude of a Satellite // AIAA Journal. 1964. Vol. 2, N 7. P. 1350–1351.
5. Shuster M. D., Oh S. D. Three-Axis Attitude Determination from Vector Observations // Journal of Guidance and Control. 1981. Vol. 4, N 1. P. 70–77.
6. Markley F. L., Crassidis J. L. Fundamentals of Spacecraft Attitude Determination and Control. Microcosm Press and Springer, 2014.
7. Bar-Itzhack Y. I., Harman R. R. Optimized TRIAD algorithm for attitude determination // Collection of Technical papers (A96-34712 09-12). 1996. P. 422–427.
8. Wahba G. A. Least-squares estimate of satellite attitude // SIAM Review. 1965. Vol. 8, N 3. P. 384–386.
9. Davenport P. A vector approach to the algebra of rotations with applications // NASA TN D-4696. 1968.
10. Markley F. L., Mortari D. How to estimate attitude from vector observations // AAS 99-427, AAS/AIAA. Astrodynamics Specialist Conference. Girdwood, Alaska, 1999.
11. Hajiye C., Soken H. E. Fault Tolerant Attitude Estimation for Small Satellites. CRC Press, 2021.
12. Shuster M. D. Approximate Algorithms for Fast Optimal Attitude Computation // AIAA Paper 78-1249, AIAA. Guidance and Control Conference. Palo Alto, 7–9 August 1978.
13. Mortari D. ESOQ: A closed-form solution of the Wahba problem // Journal of Astronautical Sciences. 1997. Vol. 45, N 2. P. 195–205.
14. Mortari D. ESOQ2 Single-Point Algorithm for Fast Optimal Attitude Determination // Paper AAS 97-167, AAS/ AIAA. Space Flight Mechanics Meeting. Huntsville, 10–12 February 1997.
15. Markley F. L. Attitude Determination Using Vector Observations and the Singular Value Decomposition // Journal of the Astronautical Sciences. 1988. Vol. 36, N 3. P. 245–258.
16. Counting the Floating Point Operations (FLOPS) [Электронный ресурс]: <<https://www.mathworks.com/matlabcentral/fileexchange/50608-counting-the-floating-point-operations-flops>>. (дата обращения 22.05.2024).

## СВЕДЕНИЯ ОБ АВТОРАХ

- Мария Андреевна Пономарева** — студентка; Самарский национальный исследовательский университет имени академика С.П. Королева, межвузовская кафедра космических исследований; E-mail: ponomarevamariaan@gmail.com
- Крамлих Андрей Васильевич** — канд. техн. наук, доцент; Самарский национальный исследовательский университет имени академика С.П. Королева, межвузовская кафедра космических исследований; E-mail: kramlikh@mail.ru

Поступила в редакцию 10.07.24; одобрена после рецензирования 09.09.24; принята к публикации 21.11.24.

## REFERENCES

1. Mohd Zamri H., Amran A., Abu Hassan A. et al. ARPN Journal of Engineering and Applied Sciences, 2016, no. 7(11), pp. 4455–4460.
2. Belokonov I.V., Timbay I.A. Dvizheniye nanosputnika otносительно центра масс на околоземных орбитах (Motion of a Nanosatellite Relative to the Center of Mass in Near-earth Orbits), Samara, 2020, 128 p. (in Russ.)
3. Branets V.N., Shmyglevsky I.P. Primenenie kvaternionov v zadachakh oriyentatsii tverdogo tela (Application of Quaternions in Problems of Rigid Body Orientation), Moscow, 1973, 320 p. (in Russ.)
4. Black H.D. AIAA Journal, 1964, no. 7(2), pp. 1350–1351.
5. Shuster M.D., Oh S.D. Journal of Guidance and Control, 1981, no. 1(4), pp. 70–77.
6. Markley F.L., Crassidis J.L. Fundamentals of Spacecraft Attitude Determination and Control, Microcosm Press and Springer, 2014.
7. Bar-Itzhack Y.I., Harman R.R. Collection of Technical papers (A96-34712 09-12), 1996, pp. 422–427.
8. Wahba G.A. SIAM Review, 1965, no. 3(8), pp. 384–386.
9. Davenport P. NASA TN D-4696, 1968.

10. Markley F.L., Mortari D. AAS 99-427, *AAS/AIAA Astrodynamics Specialist Conference*, Girdwood, Alaska, 1999.
11. Hajiyev C., Soken H.E. *Fault Tolerant Attitude Estimation for Small Satellites*, CRC Press, 2021.
12. Shuster M.D. AIAA Paper 78-1249, *AIAA Guidance and Control Conference*, Palo Alto, CA, August 7–9, 1978.
13. Mortari D. *Journal of Astronautical Sciences*, 1997, no. 2(45), pp. 195–205.
14. Mortari D. *Paper AAS 97-167, AAS/AIAA Space Flight Mechanics Meeting*, Huntsville, AL, February 10–12, 1997.
15. Markley F.L. *Journal of the Astronautical Sciences*, 1988, no. 3(36), pp. 245–258.
16. *Counting the Floating Point Operations (FLOPS)*, <https://www.mathworks.com/matlabcentral/fileexchange/50608-counting-the-floating-point-operations-flops>.

#### DATA ON AUTHORS

**Maria A. Ponomareva**

— Student, Samara University, Inter-University Department of Space Research;  
E-mail: ponomarevamariaan@gmail.com

**Andrey V. Kramlikh**

— PhD, Associate Professor; Student, Samara University, Inter-University Department of Space Research; E-mail: kramlikh@mail.ru

Received 10.07.24; approved after reviewing 09.09.24; accepted for publication 21.11.24.